

正弦平方势与带电粒子沟道效应的能带结构

邵明珠 罗诗裕[†]

(东莞理工学院, 东莞 523106)

(2006 年 8 月 21 日收到, 2006 年 9 月 5 日收到修改稿)

在量子力学的框架内描述了带电粒子与晶体相互作用, 利用正弦平方势把沟道粒子的 Schrödinger 方程化为 Mathieu 方程, 根据 Bloch 定理讨论了系统能量分布, 并用摄动法求解了方程的低阶不稳定区及其禁带宽度, 系统自动呈现出了能带结构, 再现了粒子束同晶体相互作用的周期性特征. 而这一点正是其他相互作用势不曾有的.

关键词: 沟道效应, 能带结构, 正弦平方势, 摄动法

PACC: 6180M

1. 引言

人们在研究带电粒子的沟道效应和沟道辐射时, 常常假设带电粒子同晶体之间的相互作用势是平面连续势, 而且还假设粒子运动无阻尼. 于是, 在经典力学框架内, 粒子运动方程可化为无量纲的二阶非线性微分方程

$$\frac{d^2 X}{ds^2} + \frac{\epsilon^2}{2} \frac{\partial W(X)}{\partial X} = 0, \quad (1)$$

其中

$$X = \frac{2x}{d_p}, \quad s = \frac{2v}{d_p} t, \quad \epsilon^2 = K/E,$$

$$E = m_0 c^2, \quad m = m_0 \gamma, \quad K = \pi Z_1 Z_2 e^2 N d_p^2, \quad (2)$$

x 是粒子偏离沟道中心平面的距离, d_p 是相邻晶面之间的距离, Z_1, Z_2 分别是带电粒子和晶体原子的电荷数, e 是电子电荷, $N d_p^2$ 是晶体的原子面密度, v 是粒子纵向速度, c 是光速, γ 是相对论因子, m_0 是粒子静止质量, $W(X)$ 是无量纲的粒子-晶体相互作用势. 常用的粒子-晶体相互作用势有 Lindhard 势和 Moliere 势^[1,2]. 利用这两种势可以较好的描述沟道效应和沟道辐射, 但不能再现沟道辐射的精细结构, 也不能反映粒子-晶体相互作用的周期性特征. 为此, 引入正弦平方势. 无量纲的正弦平方势可表示为^[3]

$$W(X) = \beta \sin^2 \alpha X, \quad (3)$$

其中 α, β 是势参数, 且 $\alpha = \pi/2$. 将(3)式代入方程(1)粒子运动方程化为标准的摆方程. 当引入运动阻尼和外场的周期调制时, 粒子运动方程是一个典型的动力学方程. 对这个系统的全局分叉和混沌行为作过比较仔细的分析^[4-6]. 现在, 试图在量子力学框架内, 利用正弦平方势, 把沟道粒子的 Schrödinger 方程化为 Mathieu 方程, 根据 Bloch 定理讨论了系统能量分布, 并用摄动法求解了方程的低阶不稳定区和禁带宽度. 结果表明, 对于一阶和二阶不稳定区, 禁带宽度分别为 $\Delta E_1 = \frac{K\beta}{2}$ 和 $\Delta E_2 = \frac{m d_p^2 (K\beta)^2}{16\pi^2 \hbar^2}$, 系统自动呈现出了能带结构, 再现了粒子束同晶体相互作用的周期性特征. 而这一点正是其他相互作用势(比如 Lindhard 势和 Moliere 势)不曾有的. 再考虑到, 由于不稳定区的宽度 ΔE_n 与入射粒子参数、晶体参数或粒子-晶体相互作用势参数有关, 只需适当选择这些参数, 就可以将不稳定性对沟道粒子运动的影响减至最小, 从而使沟道效应和沟道辐射得到有效地增强, 为沟道效应和沟道辐射的应用提供了更多的可能性.

2. Schrödinger 方程

在经典力学的框架内, 利用正弦平方势描述了粒子的沟道效应和沟道辐射. 现在从 Schrödinger 方程出发, 对带电粒子的沟道现象作一量子力学描述.

[†] 通讯联系人. E-mail: bgluoshy@dgut.edu.cn

假设 $V(x)$ 是粒子-晶体相互作用势, 则粒子的定态 Schrodinger 方程可表示为

$$\frac{\hbar^2}{2m} \frac{d^2 \psi}{dx^2} + (E - V(x))\psi = 0, \quad (4)$$

其中

$$V(x) = KV(x), x = d_p X/2, \quad (5)$$

鉴于 Lindhard 势和 Moliere 势都比较复杂, 无论是牛顿方程还是 Schrödinger 方程都只能数值求解. 为此, 引入正弦平方势, 使得带电粒子沟道问题的处理变得简单、解析. 在量子力学框架下描述粒子运动时, 利用正弦平方势可把 Schrödinger 方程化为 Mathieu 方程.

将 (3) 式代入 (5) 式, 可将正弦平势表示为^[7-9]

$$V(x) = K\beta \sin^2(\pi x/d_p), \quad (6)$$

其中 K 由 (2) 式给出.

将 (6) 式代入 (4) 式, 可得

$$\frac{d^2 \psi}{d\xi^2} + (\delta + 2\varepsilon \cos 2\xi)\psi = 0, \quad (7)$$

其中

$$\xi = \pi x/d_p \quad (8a)$$

$$\delta = \frac{2md_p^2}{\pi^2 \hbar^2} (E - K\beta/2), \quad (8b)$$

$$\varepsilon = \frac{mK\beta d_p^2}{2\pi^2 \hbar^2}. \quad (8c)$$

方程 (7) 是一个标准的 Mathieu 方程^[5]. 一次项的系数是 ξ 的周期函数. 根据 Floquet 定理, 方程 (7) 的解 $\psi(\xi)$ 可以表示为

$$\psi(\xi) = e^{ik\xi} \phi_k(\xi), \quad (9)$$

上式表明, $\psi(\xi)$ 和 $\phi_k(\xi)$ 只差一个模为 1 的相因子. Bloch 进一步证明上式中的 $\phi_k(\xi)$ 也是周期函数, 其周期与外场的周期相同. 设外场周期为 T , 根据 Bloch 有

$$\phi_k(\xi + T) = \phi_k(\xi). \quad (10)$$

具有这种性质的波函数称为 Bloch 波函数. 这就是所谓 Bloch 定理. 根据 Bloch 定理, 粒子在周期场中运动时, 它的能量将分裂成带.

事实上, 系统的稳定性与参数 δ, ε 的分布有关. 在参数 (δ, ε) 平面上, 出现了一系列稳定和不定区. 对方程 (7) 进行了数值计算, 结果如图 1 所示. 从图 1 可以看出, 当 $|\varepsilon| \rightarrow 0$ 时, 如果 $\delta > 0$, 系统是稳定的. 但是对于 $\delta < 0$, 系统则是不稳定的. 不过, 随着 $|\varepsilon|$ 的绝对值增加, 即使 $\delta < 0$, 系统也可能是稳定的. 由于方程 (7) 包含振动部分 $\cos 2\xi$, 在 $\delta > 0$ 的右半平面内出现了一系列稳定和不定区. 当

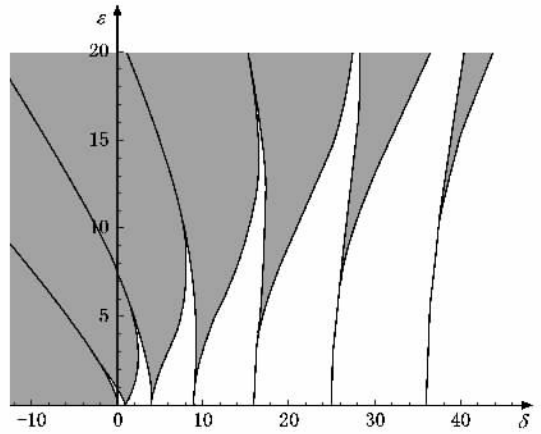


图 1 Mathieu 方程的稳定区(非阴影区域)与不稳定区(阴影区域)

$|\varepsilon| \rightarrow 0$ 时, 这些不稳定区退化为一, 且全都落在 $\varepsilon = 0$ 的横轴上, 这些点由方程

$$\delta = k^2, k = 1, 2, 3, \dots$$

给出, 其中 $k = 1, 2, 3, \dots$ 并分别称为一阶、二阶、三阶等不稳定区. 一般说来, 在参数 (δ, ε) 平面上, 这种稳定和不定区有无限多个. 实际上, 对于具体情况只有一个或少数几个稳定和不定区起作用^[10].

3. Mathieu 方程的低阶不稳定区及其禁带宽度

考虑到数值计算的复杂性和工程的合理性, 下面用摄动法对方程 (7) 近似求解^[11-13]. 为此, 注意到方程 (7) 中的 ε 是小参数, 不妨将 $\psi(\xi)$ 和 δ 按 ε 展开如下:

$$\psi(\xi, \varepsilon) = \psi_0(\xi) + \varepsilon\psi_1(\xi) + \varepsilon^2\psi_2(\xi) + \dots, \quad (11)$$

$$\delta = n^2 + \varepsilon\delta_1 + \varepsilon^2\delta_2 + \dots, \quad (12)$$

其中 $n = 0, 1, 2, \dots$ 是参数激励的共振阶数. 将 (11) 和 (12) 式代入方程 (7), 并比较方程两边 ε 的同次幂系数, 可得

$$\ddot{\psi}_0 + n^2\psi_0 = 0, \quad (13)$$

$$\ddot{\psi}_1 + n^2\psi_1 = -\delta_1\psi_0 - 2\psi_0 \cos 2\xi, \quad (14)$$

$$\ddot{\psi}_2 + n^2\psi_2 = -\delta_2\psi_0 - \delta_1\psi_1 - 2\psi_1 \cos 2\xi, \quad (15)$$

方程 (13) 的解可表示为

$$\psi_0 = a \cos n\xi + b \sin n\xi, \quad (16)$$

上式表明, 当 n 为偶数时, ψ_0 是周期为 π 的周期函数, 当 n 为奇数时, ψ_0 是周期为 2π 的周期函数. 以

$n = 1$ 为例, 求禁带的边界方程和相应的解.

将 (16) 式代入方程 (14), 且令 $n = 1$ 可得

$$\ddot{\psi}_1 + \psi_1 = -(\delta_1 + 1)a \cos \xi - (\delta_1 - 1)b \sin \xi - a \cos 3\xi - b \sin 3\xi, \quad (17)$$

消去方程中的久期项, 要求

$$(\delta_1 + 1)a = 0, \quad (18)$$

$$(\delta_1 - 1)b = 0, \quad (19)$$

于是方程 (17) 化为

$$\ddot{\psi}_1 + \psi_1 = -a \cos 3\xi - b \sin 3\xi, \quad (20)$$

由 (18) 和 (19) 式可知

$$\delta_1 = -1, b = 0, \quad (21)$$

$$\delta_1 = 1, a = 0, \quad (22)$$

于是, 方程 (20) 的解可表示为

$$\psi_1 = \frac{1}{8} a \cos 3\xi, \quad (23)$$

或

$$\psi_1 = \frac{1}{8} b \sin 3\xi, \quad (24)$$

类似地, 将 (21) (23) 式代入方程 (15), 可得

$$\ddot{\psi}_2 + \psi_2 = -\left(\delta_2 + \frac{1}{8}\right) a \cos \xi + \frac{1}{8} a \cos 3\xi - \frac{1}{8} b \sin 5\xi, \quad (25)$$

消去久期项, 要求

$$\delta_2 = -\frac{1}{8} \quad (26)$$

精确到二次近似, 一阶不稳定区的一条边界曲线和这条边界曲线上的解可表示为

$$\delta = 1 - \epsilon - \frac{1}{8} \epsilon^2 + \dots, \quad (27)$$

$$\psi = a \cos \xi + \frac{1}{8} \epsilon a \cos 3\xi + \dots, \quad (28)$$

同样, 将 (22) (24) 式代入方程 (15), 并用类似的方法, 可求得一阶不稳定区的另一条边界曲线和这条边界曲线上的解.

$$\delta = 1 + \epsilon - \frac{1}{8} \epsilon^2 + \dots, \quad (29)$$

$$\psi = b \sin \xi + \frac{1}{8} \epsilon b \sin 3\xi + \dots, \quad (30)$$

由 (27) 和 (29) 式, 可求得一阶不稳定区的禁带宽度

$$\Delta \delta = 2\epsilon, \quad (31)$$

用类似的方法, 可求得零阶不稳定区的边界曲线和这条边界曲线上的解为

$$\delta = -\frac{1}{2} \epsilon^2 + \dots, \quad (32)$$

$$\psi = a + \frac{1}{2} \epsilon a \cos 2\xi + \dots, \quad (33)$$

结果表明, 零阶不稳定区只有一条边界曲线. 同样, 用类似的方法, 还可求得二阶不稳定区的边界曲线和这条边界曲线上的解. 其中一条边界曲线和边界曲线上的解为

$$\delta = 4 + \frac{5}{12} \epsilon^2 + \dots, \quad (34)$$

$$\psi = a \cos 2\xi - \frac{1}{4} \epsilon a \left(1 - \frac{1}{3} \cos 4\xi\right) + \dots \quad (35)$$

另一条边界曲线和边界曲线上的解为

$$\delta = 4 - \frac{1}{12} \epsilon^2 + \dots, \quad (36)$$

$$\psi = b \sin 2\xi + \frac{1}{12} \epsilon b \sin 4\xi + \dots, \quad (37)$$

由 (34) 和 (36) 式, 可求得二阶不稳定区的禁带宽度

$$\Delta \delta = \frac{1}{2} \epsilon^2, \quad (38)$$

其他不稳定区的宽度可以用类似方法求出.

4. 结果和讨论

微分 (8) 式, 将 (31) 式代入, 并注意到 (8c) 式, 可得一阶不稳定区 (禁带) 的宽度

$$\Delta E_1 = K\beta/2, \quad (39)$$

微分 (8) 式, 将 (38) 式代入, 并注意到 (8c) 式, 可得二阶不稳定区的宽度

$$\Delta E_2 = \frac{md_p^2(K\beta)^2}{16\pi^2 \hbar^2}, \quad (40)$$

(39) 和 (40) 式表明, 不稳定区的宽度 $\Delta E_{1,2}$ 与入射粒子参数 (质量 m)、晶体参数 (晶格常数 d_p) 或粒子-晶体相互作用势参数 (相互作用强度 $K\beta$) 有关. 适当选择这些参数, 可以有效地加强沟道效应和沟道辐射, 为沟道效应和沟道辐射的更广泛应用提供理论根据.

我们在量子力学框架内, 利用正弦平方势, 描述了沟道粒子的运动行为, 把 Schrodinger 方程化为 Mathieu 方程, 能量分布自动呈现出了带结构, 再现了粒子与晶体相互作用的周期性特征. 而这一点正是 Lindhard 势和 Moliere 势本身不曾有的.

- [1] Korol A , Solovoyov A V , Greiner W 1999 *Int. J. Mod. Phys. E* **8** 49
- [2] Robin N , Heiland W , Jensen J 2001 *Phys. Rev. A* **64** 052901
- [3] Luo S Y , Shao M Z 1984 *Chin. Phys. (USA)* **4** 670
- [4] Luo S Y , Shao M Z 2005 *Acta Phys. Sin.* **54** 4092 (in Chinese)
[罗诗裕、邵明珠 2005 物理学报 **54** 4092]
- [5] Luo S Y , Shao M Z , Zhou X F 2003 *Chin. J. of Semiconductors* **24** 513 (in Chinese) [罗诗裕、邵明珠、周小方 2003 半导体学报 **24** 513]
- [6] Luo S Y , Shao M Z , Wei L X 2004 *Acta Phys. Sin.* **53** 1940 (in Chinese) [罗诗裕、邵明珠、韦洛霞 2004 物理学报 **53** 1940]
- [7] Luo S Y , Shao M Z , Hu X D 2004 *HEP&NP* **28** 96 (in Chinese)
[罗诗裕、邵明珠、胡西多 2004 高能物理与核物理 **28** 96]
- [8] Luo S Y , Shao M Z 2006 *Acta Phys. Sin.* **55** 1336 (in Chinese)
[罗诗裕、邵明珠 2006 物理学报 **55** 1336]
- [9] Luo S Y , Tan Y M , Shao M Z 2004 *Acta Phys. Sin.* **53** 1157 (in Chinese) [罗诗裕、谭永明、邵明珠 2004 物理学报 **53** 1157]
- [10] Hayashi C 1964 *Nonlinear oscillation in physical systems* (New York : McGraw-Hill Book Company) 185
- [11] Nayfeh A H 1981 *Introduction to Perturbation Techniques* (John Wiley & Sons) 312
- [12] Wang G Q , Wang Y N 2003 *Acta Phys. Sin.* **52** 939 (in Chinese)
[王桂秋、王友年 2003 物理学报 **52** 939]
- [13] Sun Y M , Zhu Z Y , Wang Z G 2005 *Acta Phys. Sin.* **54** 1707 (in Chinese) [孙友梅、朱智勇、王志光 2005 物理学报 **54** 1707]

The sine-squared potential and the band structure for channelling effects

Shao Ming-Zhu Luo Shi-Yu[†]

(Dongguan University of Technology , Dongguan 523106 , China)

(Received 21 August 2006 ; revised manuscript received 5 September 2006)

Abstract

The interaction between the charged particle and the crystal is described by quantum mechanics. The schrödinger equation describing a particle moving in the channel is reduced to Mathieu equation by using a sine-squared potential. The band structure of this system is discussed based on Bloch theorem. The instability zone and the stop-band width are found by the perturbation techniques. It is shown that the width of the 1-st order and 2-nd order instability zones are $\Delta E_1 = \frac{K\beta}{2}$ and $\Delta E_2 = \frac{md_p^2(K\beta)^2}{16\pi^2\hbar^2}$, respectively, and this system presents automatical the band structure, which is not present in Lindhard potential and Moliere potentials.

Keywords : channeling effect , band constraction , sine-squared potential , perturbation techniques

PACC : 6180M

[†] Corresponding author. E-mail: bgluoshy@dgut.edu.cn